

繰り返し荷重をうける橋梁構造部材の安全性の現象論的考察

大阪大学工学部 前田 幸雄

〃 松井 繁元

〃 鏡川 靖治

大阪大学大学院 川井 豊

1. まえがき

従来、道路橋においては、床版を除いて設計荷重作用時の全応力のうち、死荷重応力に比して活荷重応力の占める割合が小さいことから、疲労に対する考慮はほとんど払われていなかった。しかし最近の高強度鋼の発達や、構造解析法及び設計法の進歩に伴い橋梁の薄肉軽量化の傾向と共に、交通量の激増、車両の大型化が相俟つて活荷重による応力及び繰り返し載荷回数は増加の一途にある。特に、道路橋主要部材の中で最も過酷に活荷重の影響を受けるのは、輪荷重が直接作用する床版である。その活荷重を受ける回数は、今、橋の供用年数を50年とすると數十万回にも達する。最近の鉄筋コンクリート床版の頻繁な破損事故は大きな問題となり、改訂道路橋示方書（昭和46年12月）においては、床版厚の増加と共に、設計曲線モーメント式の改訂、特に配力鉄筋への曲げモーメント式の提示が行われる算設計法の改善が計られてきた。又、板析、合成析についても、終局強度設計法の採用や、プレストレスレバー連続合成析（以下“PSレバー連続合成析”と略称する）の採用等、新しい設計法を取り入れる傾向が見られる。この様な背景から、道路橋の疲労という観点からもう一度各部材の安全性を確認しておく必要がある様思われる。

今、道路橋で疲労に対する問題となる部材は、床版・伸縮装置・析の引張フランジ・密接部・横桁等が考えられる。これらの部材のうち、筆者らは、鉄筋コンクリート床版に付属するアーチ（角床式鋼格子床版・コンクリートサンドウイッチ鋼床版）、PSレバー連続析の負モーメント域におけるアーチが取付サランボに鋼析上フランジ及び薄肉アーチが一連の繰り返し載荷試験を行なってきた。本論文は、これらの実験的研究の結果を例として、道路橋が繰り返し荷重を受ける時の主要部材の安全性を疲労現象の面から評価しようとしたものである。

2. プレハブ床版-角床式鋼格子床版（以下“格子床版”）・コンクリートサンドウイッチ鋼床版（以下“サンドウイッチ床版”）の疲労に対する安全性について

自動車交通量及び交通荷重の激増下の今日、RC床版より耐久性があり、かつ剛性の大きい床版の開発が望まれ、また最近の省力化の傾向は床版にも急速に及びに至り重量かつプレハブ式の床版が要求されといふ。著者らも、プレハブ床版の一種である小型工形鋼を使用した格子床版や、二枚の鋼板間にコンクリートを充填したサンドウイッチ床版の研究¹⁾²⁾を進めてきた。この両床版は薄い床版厚にせかかからず、RC床版の2・3倍から5・6倍もの静的耐荷力を有し、また実験室内での繰り返し載荷試験の結果、設計荷重下において200万回疲労寿命の確保も兼ね備えた床版と言えう。

さて、従来から実験荷重下における疲労寿命の推定・疲労強度の算定は、その重要性にせかかからず、交通荷重の実態資料が不足のために行われていなかった。このため、昭和44年³⁾⁴⁾建設省によつて交通荷重別頻度、並びに、床版に直接影響をもたらす通過位置別頻度の実態調査⁵⁾が全国的に行

され、かなりの信頼に足る資料が収集された。これを基に、鋼床版の疲労設計への計算が²²⁾も報告されている。著者らも、この実態調査資料を参考にして、上記3種のプレハブ床版の安全性と疲労の観点から考察を加えた。

2.1 各床版の疲労特性と安全性算定のための仮定

1) 格子床版 本床版の疲労強度は、著者らの研究や文献^{3)~4)}の研究においても明確にされよう。全く、主部材である小型工形鋼における亀裂発生には破断により決まり、横部材、すなわち配力鉄筋にかけた疲労破壊の発生事例の報告は見当らない。また充填コンクリートは、図-1で理解できるように工形鋼下フランジで下方への移動を拘束されるため、剥離・脱落の危険性ではなく、RC床版のようないくつかの危険な破壊現象は現われないものと思われる。

次に、本床版の実交通荷重下における安全性算定のための仮定は次の通りである。

① 本床版の疲労強度は、小型工形鋼の疲労破断を決定する。この疲労破断を整理したS-N曲線は図-1に示すものを用いる。このS-N曲線は文献^{1)~4)}のデータを集積して求めたものである。

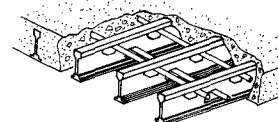
② 本床版の疲労特性は等方性破壊論より説明できる。従来のものは直交異方性の大きさのものであるが、最近は改訂示方書に示されているRC床版の規定(特に配力鉄筋)を準用する傾向にある。

2) サンドウイッチ床版 本床版の疲労破壊性状は、後述するPSTしない連続合成桁の中間支点上のエフランジのそれと同様に、引張側鋼板にかけてスリット付ケルからの亀裂発生が主であった。

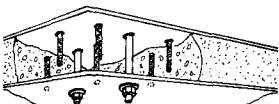
鋼板の引張応力から、本床版のS-N曲線の評価を試みたが、実験値のバラツキが大き過ぎて困難であった。このため、スリットに作用する水平せん断力を算定し、この結果を考慮した主応力を整理すると、図-2の△印が示すように、バラツキの少ないS-N曲線を得た。⁶⁾ 本実験においては、高力ボルト自身の疲労破壊、及び、鋼板のボルト孔からの亀裂発生は全く認められず、高力ボルトの疲労に対する有用性は大きいものであると思われる。本床版についても安全性算定のため、次のような仮定を設ける。

③ 本床版の疲労強度は引張側鋼板のスリット溶接部の疲労亀裂発生によつて決まり、スリット付ケルに作用する水平せん断力を考慮する。

④ 輪荷重は床版表面から床版中央面まで45°方向に拡がり、32mm×62mmの面に等分布するものとし、この分布面の全周で均等にせん断力が分布すると仮定すると、本床版の標準タイプ(B-3)にあたるスリット1本に作用する水平せん断力は、輪荷重を8tとして440Nとなる。この水平せん断力の影響を実験値から除去すると、図-2の実線が示すように鋼板の引張応力のせん断力によるS-N曲線が得られる。このS-N曲線を使用することによつて、本床版の疲労寿命は曲げ応力だけで推



閉床式鋼格子床版



コンクリートサンドウイッチ床版

図-1 プレハブ床版の概要

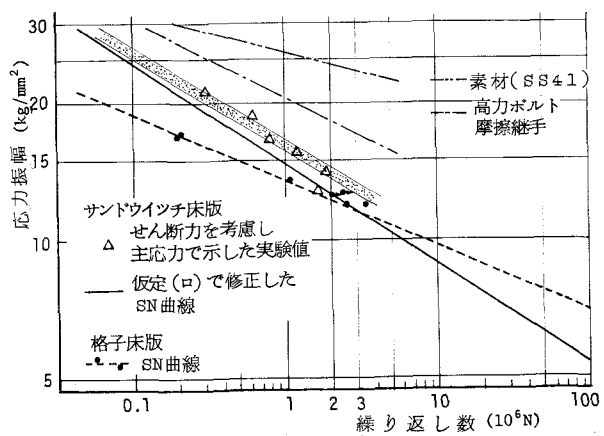


図-2 プレハブ床版のS-N線図

定ができる。① 本床版を算定係数として扱う。

2.2 橋の供用期間中の算術繰り返し回数

橋の供用年数と道路橋技術基準(案)に示されている50年とし、調査資料に基づいて一枚当たりの日交通量を10,000台とすると、最大モーメント発生位置すなはちスパン中央(単純版と仮定)と通過する輪荷重の総数は前後輪を含め次のように求められる。

$$N_e = 2 \times 10000 \text{ (台/日)} \times 365^{(8)} \times 50^{(9)} = 365 \times 10^6 \text{ 回}$$

この総通過回数はすべての輪荷重度を含めたものであるので、設計自動車荷重T-20の後輪荷重8tを基本輪荷重とし、疲労の修正マイナーの法則を適用して式(1)により基本輪荷重によって換算しなければならない。

$$Neg = N_e \int_{T_{\min}}^{T_{\max}} P(T) \cdot (T/8)^{1/K} dT \quad (1)$$

ここに、 Neg : 算術繰り返し回数

$P(T)$: 輪荷重Tが載る確率密度

K : S-N曲線の傾きの絶対値

又、 $P(T)$ に関するヒストグラム図-3に示すものが得られた。図中破線は全国17地点における実測結果を集計整理したものであり、実線は上記測定点うち重量の大きい車両の混入率の最も高い滋賀県虎姫町(国道1号線)における実測結果である。また、 $(T/8)^{1/K} \cdot dT$ すなはち、8tを基準にして疲労累積被害率は図-4のように計算される。この $P(T)$ と疲労累積被害率によって Neg を計算できるが、実測データを複数ある都合上、(1)式を式(2)のように変形し、 $\Delta T=1$ として計算を行った。

$$Neg = N_e \cdot \sum P(T) \cdot \left(\frac{T+1}{8}\right)^{1/K} \cdot \Delta T \quad (2)$$

(2)式は $\Delta T=1^t$ の間での正確な分布状況がわからないため安全側となる。計算結果は表-1に示す通りとなり、各床版とも非常に大きな算術繰り返し回数となった。また、同じ場所でも、S-N曲線の性状の差違により、 Neg は大きく変化する。このため、正確なS-N曲線の集積が求められる。大型混入率の高い虎姫町では全国平均の約5倍(サンドウインチ床版)~10倍(格子床版)にも達しており、床版の疲労寿命の正確な算定は橋架設地点別に行なわれるべきであると言える。

実際に道路工事を走行している車両の輪荷重の通行軌跡は必ずしも一定ではなく、通行位置別頻度調査からも図-5に示すように標準偏差 $\sigma = 45cm$ の正規分布によると確認された。このため Neg に輪荷重通過位置別頻度分布による補正を施

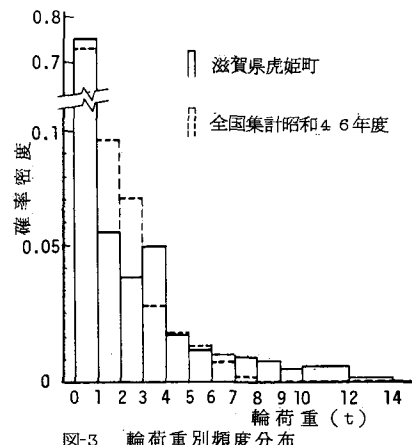


図-3 輪荷重別頻度分布

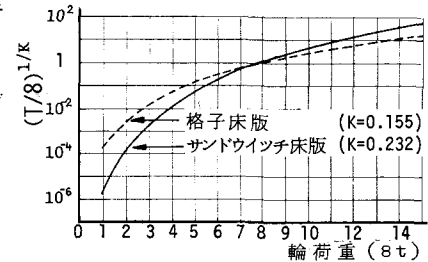
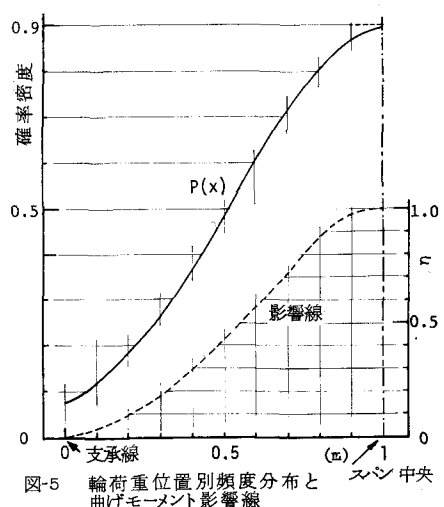


図-4 輪荷重による疲労累積被害率



す必要がある。一例としてスパン2mの床版を対象とし、輪荷重通過位置の平均値がスパン中央に一致すると考えて、図-5に示したスパン中央に開するモーメント影響係数と通過位置別密度分布から等価繰り返し数に乘す補正係数 C_1 は式(3)によると求められる。

$$C_1 = \sum (\kappa) \frac{1}{\kappa} \cdot p(x) \cdot \Delta x \quad \left. \begin{array}{l} \text{ここで、}\kappa: \text{モーメント影響係数} \\ p(x): \text{輪荷重の通過位置別密度分布} \end{array} \right\} \quad (3)$$

ここで、 $\Delta x = 10^{\text{cm}}$ として計算した C_1 は表-1に示す通りで、修正等価繰り返し数 $N_{eq} = C_1 \cdot N_{eq}$ も同表に示す。この C_1 の値もS-N曲線によると大きく影響されることに注意したい。

2.3 疲労に対する安全性の考察

上記の N_{eq} , N_{eq}' とも、各床版の安全性が評価出来た。今、各床版の許容応力を鋼材(SS41)の1400kg/cm²とすると、活荷重応力(衝撃を含め)の右端を割合は最大95%で、その応力は1330kg/cm²となる。また、 N_{eq} , N_{eq}' を算出した輪荷重頻度調査の輪荷重は走行中の値であるから衝撃を含んでおり、許容応力を衝撃を除いた値に修正すべきで、その修正値は960kg/cm²($i = 0.385$)となる。これらの各許容値と N_{eq} , N_{eq}' 時の疲労強度と比較して最終的に、安全率 v_1 ($\sigma_a = 1330 \text{ kg/cm}^2$ を基準にした場合)または v_2 ($\sigma_a = 960 \text{ kg/cm}^2$ を基準にした場合)が表-1の如く得られる。

1) 許容応力一定までの設計を行った場合の安全性について

表-1より明らかのように補正を施さない N_{eq} に対する安全率は、格子床版の全国平均値で評価した場合を除いて、全て“1”以下であり、もし、輪荷重の通過軌跡が一定の場合には床版の安全率は0.7まで下げる必要がある。また、 N_{eq}' を用いて評価した場合でも、虎姫町のように大型混入率の高い道路橋では“1”以下となり、やはり床版の疲労寿命は短かいことが理解される。乙種の床版を比較すると、S-N曲線の傾きが小さい格子床版の方が疲労に関しての安全性は大きい。サンドウイッチ床版でも下側鋼板のスタッズを除去し、疲労強度に余裕のある高カボルトのケベン断を受けてよう改良を加えると、次の安全性は向上するであろう。

2) 同じ床版厚で比較した両者の安全性について

格子床版やサンドウイッチ床版は軽量性をうたうが、プレハブ床版であるか、小型工形鋼の最小寸法や製作法の問題上、最小床版厚は、前者に開け212.4cm、後者は12cm位となる。この床版厚でも同様格用のRC床版の重量と比較すると非常に軽量となる。さて、この両者の最低床版厚が等しいことから同床

表-1 等価繰り返し回数と安全率

床版厚の場合の安全性の違いについて評価を加える。この時の等価繰り返し数	プレハブ床版	輪荷重位置別頻度による補正の有無	滋賀県虎姫町				全国集計昭和45年度				全国集計昭和46年度				
			N_{eq}, N_{eq}'		安全率		N_{eq}, N_{eq}'		安全率		N_{eq}, N_{eq}'		安全率		
			C_1	(10^6 N)	v_1	v_2	(10^6 N)	v_1	v_2	(10^6 N)	v_1	v_2	(10^6 N)	v_1	v_2
閉床式	無 N_{eq}		77.75	0.507	0.702	4.440	0.791	1.096	7.643	0.726	1.006				
鋼格子床版	有 N_{eq}'	0.263	20.45	0.671	0.929	1.168	0.971	1.345	2.010	0.894	1.239				
コンクリートサンド	無 N_{eq}		41.53	0.471	0.653					8.360	0.684	0.948			
ウインチ床版	有 N_{eq}'	0.385	15.98	0.589	0.817					3.220	0.854	1.182			

として虎姫町の N_{eq}' を用い、スパン2mの設計曲げ

モーメントは示方書によれば、この結果、各床版の発生応力と安全率は表-2に示す如くになり、1)とは逆に、サンドウイッチ床版は非常に大きな安全率

表-2 同床版厚による安全率の比較

プレハブ床版	床版厚(cm)	応力(kg/cm ²)		安全率	
		衝撃有	衝撃無	v_1	v_2
格子床版(I=15cm)	12.4	1033	746	0.864	1.195
サンドウイッチ床版	12.0	532	384	1.473	2.043

を有することが理解され、同程度の床版厚ではサンドウイッチ床版の方が、静的耐力と同様、疲労に対する安全性が高いといえよう。格子床版でも、スパンスルーハウ最小床版厚で安全率が“1”以下になり供用に耐え得るであろう。

以上、2種のアレハフ床版の安全性について評価したが、従来の設計法では安全率が“1”以下となる場合が多く、荷重頻度と疲労特性を十分調査し、より安全率が最低“1”になるよう設計されねばならない。種々の制約下、床版厚を大きくできない場合には、車輪最大通知位置をモーメントの小さい所に来るようレンジマークと支持桁の位置の組合せに操作を加えることにより、安全性の確保が可能となるであろう。自動車交通量の激増の傾向にある今日、床版の疲労に対する安全性は大問題である。このため、交通量の正確な伸び予測と、それに基づく的確な設計が切望される。

3. PSしない連続合成アーチ橋の負の曲げモーメント域における疲労に対する安全性について^(注1)

PSしない連続合成アーチに問題点として、繰返し荷重を受けた場合の負の曲げモーメント域における止めの取付けられた鋼アーチフランジの疲労強度およびコンクリート床版のひびわれやすさが考えられる。そこで、これらについて筆者らが実施した一連の疲労実験結果^(注2)とこれまでに施行された数橋の設計例と比較することにより、現行の設計荷重体系のもとににおける橋の安全性を疲労現象の面から評価し、今後のこの種型式の橋梁設計への一助にしたいと考える。このため、PSしない連続合成アーチ橋の設計例よりよく似たスパン(30m程度)の6橋^(注3)を選び、中間支点付近の3種類の応力 a. 鋼アーチ上フランジ応力(引張応力), b. 止め止め(スタッドジベル)のセン断応力, c. 床版内の橋軸方向鉄筋応力に対するそれを基の平均的設計値を求め、これらの値を用いて疲労に対する安全性について検討を加えることにした。

なお、疲労問題を云々する場合に、設計計算上の応力を用いて議論することは設計荷重に対するようすは荷重が主にたに數十万回～数百万回も満載されることがあるかどうかを初めて疑わしいこともあり、必ずしも妥当とは思えないが、実橋の安全性判定に対する一つの目安にはなるものと思われる。

3.1 主アーチ上フランジの疲労に対する安全性

PSしない連続合成アーチに関する疲労実験の結果^(注4)、負モーメントを受ける場合のアーチの疲労性状に関して、スタッドジベル自身のセン断疲労破壊あるいは橋軸方向鉄筋の疲労現象などは観察されず、スタッドの溶植されに引張フランジがスタッド付根に沿って疲労亀裂を発生し、荷重の繰り返しと共にフランジ全幅、次いでウエブへと進展していくという破壊現象がみられた。そこで筆者らはスタッド付根にかけるフランジの引張応力、スタッドのセン断応力およびこれら両者を組み合わせた主応力などを用いて、この疲労破壊現象を評価することを試みた。本項はこの方法を実際の設計例について適用し、実橋の安全性を判定しようとしたものである。

主アーチの中間支点の上フランジの応力のうち死荷重応力および活荷重応力が鋼材の許容応力に対して占める割合を基の設計条件(橋格、スパン、主アーチ断面形状など)により異なるのは当然であるが、大体把件割合を知るために6橋の設計計算値の平均値を用いて表めると次式のようになる。

$$\sigma = 0.90 \sigma_a, \quad \sigma_x = 0.23 \sigma_a, \quad \sigma_y = \sigma - \sigma_x = 0.67 \sigma_a \quad (4)$$

注1) “鋼道路橋の合成作用の設計一合成作用の取扱いについて”^(注5)より一部引用。

注2) 大阪市工事局：大正橋/喜ヶ崎橋/御堂筋線高架道路橋/下城見橋/矢田新橋、兵庫県：鴨北橋。

ここに、 σ_a ：鋼材の許容引張応力度、 σ_0 ：合成前死荷重、
合成後死荷重および活荷重によるフランジの引張応力、
 σ_e ：活荷重によるフランジ引張応力、 σ_d ：合成前死荷重
度および合成後死荷重によるフランジ引張応力。

式(4)の関係が各種の鋼材に対する適用できるものと仮定し、
それをこの応力を計算すると表-3のようになる（これを便宜上
平均的設計応力値と呼ぶことにする）。

また、それ止め（スタッドジベル）のセン断応力に対する式は、
式(4)と同様にして次式のように表わせら。

$$\tau = 0.37 \tau_a, \quad \tau_a = 0.30 \sigma_a, \quad \tau_a = \tau - \tau_e = 0.07 \tau_a \quad (5)$$

ここに、 τ_a ：スタッドの許容セン断応力度、 τ ：合成後死荷重および活荷重によるセン断応力、
 τ_e ：活荷重によるセン断応力、 τ_d ：合成後死荷重によるセン断応力。

ただし、セン断応力の計算に当たっては実験値に対応させるために鋼断面（鋼板に断面に軸方向鉄筋を算入した断面）を用ひていう（実際の設計では簡単ために合成断面を用ひて計算してより、改訂示方書もそのように規定している）。式(5)の関係がスタッドに対する一般的に通用できるものと仮定し、通常用いられるスタッド（Φ22×150 mm, $\sigma_{ek} = 300 \text{ kg/cm}^2$ ）に用ひれば表-4のようになる。なお、以下においては（ σ_a , τ ），（ σ_d , τ_e ），（ σ_a , τ_d ）をそれぞれ疲労問題を取扱う場合の最大応力、応力範囲、最小応力と考え、実験結果と比較することにする。

1) フランジの引張疲労強度

一般にスタッドが溶接された鋼板の引張疲労強度を求めるには、鋼板試験片と直接引張疲労試験（鋼板試験）と模型合成した負の曲げモーメントを与えた疲労試験（引張試験）の二つの方法が考えられる。図-6は筆者らがこれまでに行なってきた鋼板および引張試験結果^{8), 9)}を引張応力範囲によりプロットしたS-N線図上に表-3中の各鋼の応力レベルを記したものである。図によれば、設計例より得られた各鋼種の応力範囲はいずれも実験結果のそれとかなり下まわっており、200万回疲労强度に対する安全率はSS41の場合で約3.3, SM58の場合でも約2.6程度あり、フランジの疲労破壊発生の危険性は高いものと考えられる。

一方、最小応力と最大応力の比、すなはち応力比 R
(=最小応力/最大応力)
の面から検討すると、鋼板
試験では応力比が約0.1程度
であるのに、設計例の場合
は式(4)から明らかによろ
に約0.74程度であり、両
者にかなり大きな差がある。
そこで、応力比の影響を考

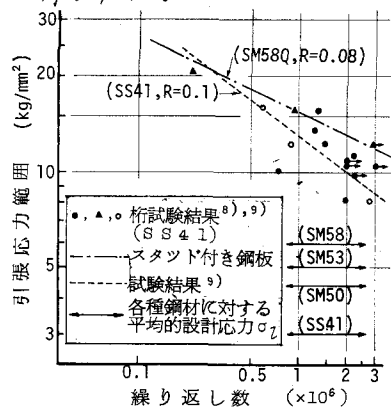


図-6 引張応力によるS-N線図

表-3 フランジの平均的設計
応力 (kg/cm²)

鋼種	σ_a	σ_0	σ_d	σ_e
SM58	2,600	2,300	600	1,700
SM53	2,100	1,900	500	1,400
SM50	1,900	1,700	450	1,250
SS41	1,400	1,250	300	950

表-4 スタッドの平均的設計
応力 (kg/cm²)

使用スタッド	τ_a	τ	τ_d	τ_e
Φ22×150 $\sigma_{ek}=300 \text{ kg/cm}^2$	660	240	200	40

（ $\tau_a = 0.37 \tau$, $\tau_d = 0.07 \tau$ ）

（ $\tau_e = \tau - \tau_d$ ）

（ $\tau_d = 0.07 \tau_a$ ）

（ $\tau_e = 0.07 \tau_a$ ）

（ $\tau_d = 0.07 \tau_a$ ）

（ $\tau_e = 0.07 \tau_a$ ）

（ $\tau_d = 0.07 \tau_a$ ）

（ $\tau_e = 0.07 \tau_a$ ）

（ $\tau_d = 0.07 \tau_a$ ）

（ $\tau_e = 0.07 \tau_a$ ）

（ $\tau_d = 0.07 \tau_a$ ）

（ $\tau_e = 0.07 \tau_a$ ）

（ $\tau_d = 0.07 \tau_a$ ）

（ $\tau_e = 0.07 \tau_a$ ）

（ $\tau_d = 0.07 \tau_a$ ）

（ $\tau_e = 0.07 \tau_a$ ）

（ $\tau_d = 0.07 \tau_a$ ）

（ $\tau_e = 0.07 \tau_a$ ）

（ $\tau_d = 0.07 \tau_a$ ）

（ $\tau_e = 0.07 \tau_a$ ）

（ $\tau_d = 0.07 \tau_a$ ）

（ $\tau_e = 0.07 \tau_a$ ）

（ $\tau_d = 0.07 \tau_a$ ）

（ $\tau_e = 0.07 \tau_a$ ）

（ $\tau_d = 0.07 \tau_a$ ）

（ $\tau_e = 0.07 \tau_a$ ）

（ $\tau_d = 0.07 \tau_a$ ）

（ $\tau_e = 0.07 \tau_a$ ）

（ $\tau_d = 0.07 \tau_a$ ）

（ $\tau_e = 0.07 \tau_a$ ）

（ $\tau_d = 0.07 \tau_a$ ）

（ $\tau_e = 0.07 \tau_a$ ）

（ $\tau_d = 0.07 \tau_a$ ）

（ $\tau_e = 0.07 \tau_a$ ）

（ $\tau_d = 0.07 \tau_a$ ）

（ $\tau_e = 0.07 \tau_a$ ）

（ $\tau_d = 0.07 \tau_a$ ）

（ $\tau_e = 0.07 \tau_a$ ）

（ $\tau_d = 0.07 \tau_a$ ）

（ $\tau_e = 0.07 \tau_a$ ）

（ $\tau_d = 0.07 \tau_a$ ）

（ $\tau_e = 0.07 \tau_a$ ）

（ $\tau_d = 0.07 \tau_a$ ）

（ $\tau_e = 0.07 \tau_a$ ）

（ $\tau_d = 0.07 \tau_a$ ）

（ $\tau_e = 0.07 \tau_a$ ）

（ $\tau_d = 0.07 \tau_a$ ）

（ $\tau_e = 0.07 \tau_a$ ）

（ $\tau_d = 0.07 \tau_a$ ）

（ $\tau_e = 0.07 \tau_a$ ）

（ $\tau_d = 0.07 \tau_a$ ）

（ $\tau_e = 0.07 \tau_a$ ）

（ $\tau_d = 0.07 \tau_a$ ）

（ $\tau_e = 0.07 \tau_a$ ）

（ $\tau_d = 0.07 \tau_a$ ）

（ $\tau_e = 0.07 \tau_a$ ）

（ $\tau_d = 0.07 \tau_a$ ）

（ $\tau_e = 0.07 \tau_a$ ）

（ $\tau_d = 0.07 \tau_a$ ）

（ $\tau_e = 0.07 \tau_a$ ）

（ $\tau_d = 0.07 \tau_a$ ）

（ $\tau_e = 0.07 \tau_a$ ）

（ $\tau_d = 0.07 \tau_a$ ）

（ $\tau_e = 0.07 \tau_a$ ）

（ $\tau_d = 0.07 \tau_a$ ）

（ $\tau_e = 0.07 \tau_a$ ）

（ $\tau_d = 0.07 \tau_a$ ）

（ $\tau_e = 0.07 \tau_a$ ）

（ $\tau_d = 0.07 \tau_a$ ）

（ $\tau_e = 0.07 \tau_a$ ）

（ $\tau_d = 0.07 \tau_a$ ）

（ $\tau_e = 0.07 \tau_a$ ）

（ $\tau_d = 0.07 \tau_a$ ）

（ $\tau_e = 0.07 \tau_a$ ）

（ $\tau_d = 0.07 \tau_a$ ）

（ $\tau_e = 0.07 \tau_a$ ）

（ $\tau_d = 0.07 \tau_a$ ）

（ $\tau_e = 0.07 \tau_a$ ）

（ $\tau_d = 0.07 \tau_a$ ）

（ $\tau_e = 0.07 \tau_a$ ）

（ $\tau_d = 0.07 \tau_a$ ）

（ $\tau_e = 0.07 \tau_a$ ）

（ $\tau_d = 0.07 \tau_a$ ）

（ $\tau_e = 0.07 \tau_a$ ）

（ $\tau_d = 0.07 \tau_a$ ）

（ $\tau_e = 0.07 \tau_a$ ）

（ $\tau_d = 0.07 \tau_a$ ）

（ $\tau_e = 0.07 \tau_a$ ）

（ $\tau_d = 0.07 \tau_a$ ）

（ $\tau_e = 0.07 \tau_a$ ）

（ $\tau_d = 0.07 \tau_a$ ）

（ $\tau_e = 0.07 \tau_a$ ）

（ $\tau_d = 0.07 \tau_a$ ）

（ $\tau_e = 0.07 \tau_a$ ）

（ $\tau_d = 0.07 \tau_a$ ）

（ $\tau_e = 0.07 \tau_a$ ）

（ $\tau_d = 0.07 \tau_a$ ）

（ $\tau_e = 0.07 \tau_a$ ）

（ $\tau_d = 0.07 \tau_a$ ）

（ $\tau_e = 0.07 \tau_a$ ）

（ $\tau_d = 0.07 \tau_a$ ）

（ $\tau_e = 0.07 \tau_a$ ）

（ $\tau_d = 0.07 \tau_a$ ）

（ $\tau_e = 0.07 \tau_a$ ）

（ $\tau_d = 0.07 \tau_a$ ）

（ $\tau_e = 0.07 \tau_a$ ）

（ $\tau_d = 0.07 \tau_a$ ）

（ $\tau_e = 0.07 \tau_a$ ）

（ $\tau_d = 0.07 \tau_a$ ）

（ $\tau_e = 0.07 \tau_a$ ）

（ $\tau_d = 0.07 \tau_a$ ）

（ $\tau_e = 0.07 \tau_a$ ）

（ $\tau_d = 0.07 \tau_a$ ）

（ $\tau_e = 0.07 \tau_a$ ）

（ $\tau_d = 0.07 \tau_a$ ）

（ $\tau_e = 0.07 \tau_a$ ）

（ $\tau_d = 0.07 \tau_a$ ）

（ $\tau_e = 0.07 \tau_a$ ）

（ $\tau_d = 0.07 \tau_a$ ）

（ $\tau_e = 0.07 \tau_a$ ）

（ $\tau_d = 0.07 \tau_a$ ）

（ $\tau_e = 0.07 \tau_a$ ）

（ $\tau_d = 0.07 \tau_a$ ）

（ $\tau_e = 0.07 \tau_a$ ）

（ $\tau_d = 0.07 \tau_a$ ）

（ $\tau_e = 0.07 \tau_a$ ）

（ $\tau_d = 0.07 \tau_a$ ）

（ $\tau_e = 0.07 \tau_a$ ）

（ $\tau_d = 0.07 \tau_a$ ）

（ $\tau_e = 0.07 \tau_a$ ）

（ $\tau_d = 0.07 \tau_a$ ）

（ $\tau_e = 0.07 \tau_a$ ）

（ $\tau_d = 0.07 \tau_a$ ）

（ $\tau_e = 0.07 \tau_a$ ）

（ $\tau_d = 0.07 \tau_a$ ）

（ $\tau_e = 0.07 \tau_a$ ）

（ $\tau_d = 0.07 \tau_a$ ）

（ $\tau_e = 0.07 \tau_a$ ）

（ $\tau_d = 0.07 \tau_a$ ）

（ $\tau_e = 0.07 \tau_a$ ）

（ $\tau_d = 0.07 \tau_a$ ）

（ $\tau_e = 0.07 \tau_a$ ）

（ $\tau_d = 0.07 \tau_a$ ）

（ $\tau_e = 0.07 \tau_a$ ）

（ $\tau_d = 0.07 \tau_a$ ）

（ $\tau_e = 0.07 \tau_a$ ）

（ $\tau_d = 0.07 \tau_a$ ）

（ $\tau_e = 0.07 \tau_a$ ）

（ $\tau_d = 0.07 \tau_a$ ）

（ $\tau_e = 0.07 \tau_a$ ）

（ $\tau_d = 0.07 \tau_a$ ）

（ $\tau_e = 0.07 \tau_a$ ）

（ $\tau_d = 0.07 \tau_a$ ）

（ $\tau_e = 0.07 \tau_a$ ）

（ $\tau_d = 0.07 \tau_a$ ）

（ $\tau_e = 0.07 \tau_a$ ）

（ $\tau_d = 0.07 \tau_a$ ）

（ $\tau_e = 0.07 \tau_a$ ）

（ $\tau_d = 0.07 \tau_a$ ）

（ $\tau_e = 0.07 \tau_a$ ）

（ $\tau_d = 0.07 \tau_a$ ）

（ $\tau_e = 0.07 \tau_a$ ）

（ $\tau_d = 0.07 \tau_a$ ）

（ $\tau_e = 0.07 \tau_a$ ）

（ $\tau_d = 0.07 \tau_a$ ）

（ $\tau_e = 0.07 \tau_a$ ）

（ $\tau_d = 0.07 \tau_a$ ）

（ $\tau_e = 0.07 \tau_a$ ）

（ $\tau_d = 0.07 \tau_a$ ）

（ $\tau_e = 0.07 \tau_a$ ）

（ $\tau_d = 0.07 \tau_a$ ）

（ $\tau_e = 0.07 \tau_a$ ）

（ $\tau_d = 0.07 \tau_a$ ）

（ $\tau_e = 0.07 \tau_a$ ）

（ $\tau_d = 0.07 \tau_a$ ）

（ $\tau_e = 0.07 \tau_a$ ）

（ $\tau_d = 0.07 \tau_a$ ）

（ $\tau_e = 0.07 \tau_a$ ）

（ $\tau_d = 0.07 \tau_a$ ）

（ $\tau_e = 0.07 \tau_a$ ）

（ $\tau_d = 0.07 \tau_a$ ）

考慮するためには図-6に示したSS41およびSM50Qのスタッド付鋼板のS-N曲線を基にして、縦軸に最大応力、横軸に最小応力をとった200万回の繰り返し数に対する疲れ限度線図を作成し、その図上に表-3に示した各鋼種の平均的設計応力値を記入すれば図-7が得られる。図からも明らかのように、SS41、SM50およびSM53の各平均設計応力点はいずれもSS41の疲れ限度線の下にあり、本にSM58についてもSM58Qの疲れ限度線の下にあることから、応力比の影響を考慮しても、破壊に対する安全率はSS41の場合で約2.0、SM58の場合で約1.6程度あり、十分安全であると言える。

2) フランジの引張疲労強度に及ぼすセン断応力の影響

筆者らはこれまでに行なった実験結果から、合成せんに構造部材としてのスタッド付引張フランジにおけるフランジ曲げ応力とスタッドセン断応力との組み合わせ応力状態とすることにより、セン断応力の影響によりフランジの疲労強度が単純なスタッド付鋼板の場合に比べてさらに低下するということを指摘してきた^{8),9)}。

そこで、表-3および表-4により主応力範囲 $\Delta \sigma_p = (\sigma_e/2 + \sqrt{(\sigma_e/2)^2 + C_e^2})$ を計算し、これまでの疲労試験結果を主応力によりまとめたS-N線図に記入すると図-8のようになる。

図中、○印はスタッド付鋼板試験(SS41)を用いて鋼板の引張りとスタッドのセン断とともに与えた組み合わせ応力疲労試験の結果であり、その時のセン断応力範囲が0, 200, 300 kg/cm²の3種のものとまとめ表示している。

図-8に見るように、設計例のSS41材の主応力範囲は鋼板試験結果の200万回疲労強度よりも下方に位置し、さらに200万回における新試験結果(新鋼板試験結果に比してかなり強度が高くなつており、すでにとした場合には鋼板の場合に比べて条件が緩和されうるものと思われる)ことから、スタッドせん断応力の影響を考慮に入れても十分安全であると考えられる。本に、他の鋼種については現在のところ疲労試験結果が得られていないので明確には言えはいかず、図-7、図-8などをもとに、SS41についての上記の傾向を参考合わせれば、やはり疲労破壊の発生はほいものと思われる。

以上により、現行の示方書に示された荷重体系のもとで設計されたPSレール連続合成せんに際しては使用鋼種の如何にかかわらず、中间支点付近の主せんにフランジが疲労破壊することはないものと考えられる。また、将来交通荷重の大きさが倍増したとしても、建設省の一連の調査^{10,11)}によると、ても明らかにごとく、ここで取扱つたように設計応力に相当する大きさの荷重加載十万～数百万回も繰り返すことは考えられていため、橋の寿命が上フランジの疲労で定まるることはほいものと思われる。しかし、疲労問題にはかなりのがらつきがあり、また応力集中の影響も考慮するには要があるのと、せんにの中間支点の垂直補鋼材の直上などにスタッドを溶接しない等構造上の配慮が望ましい。

3.2 底板のコンクリートのひび割れ

合成せんに加負の曲がモーメントを与える繰り返し荷重を受けた場合

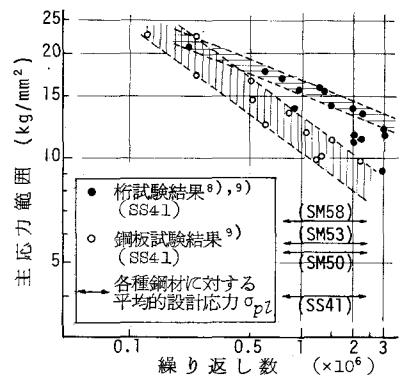


図-8 主応力によるS-N線図

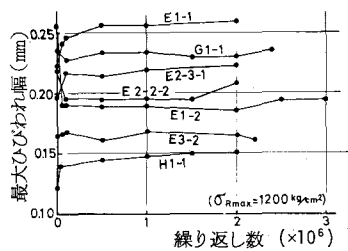


図-9 最大ひびわれ幅の変化

の歴のコンクリートに生ずるひび割れの性状を示したのが図-9である。これは既疲労試験⁽⁴⁾より得られたものであり、これから最大ひびわれ幅(荷重の繰り返し数が10万回程度までは多少の増減があるが、それ以後は繰り返し数の増加とともに著しく増大していくよう)ことはなく、ほぼ一定の値を保つことがわかる。また、繰り返し荷重を与えることにより最大ひびわれ幅が増加する場合でも、最初の静的載荷時の高さ1.3倍程度であった。一方許しうる最大ひびわれ幅E₀はmmとすれば静的実験の結果⁽⁵⁾より、橋軸方向鉄筋が適当な断面積比、周長率、径をとももとすれば鉄筋応力として 1000 kg/cm^2 程度まで認めうると報告されている。

ところで式(4)から(5)を求める際に用いた6橋の設計例では負モーメント域の橋軸方向鉄筋の断面積として腹のコンクリートの1.5~2.0%程度、周長率として 0.04 cm/cm^2 程度、径としてD16~D19を使用したものであるが、ひずみも主たる作用としての合成後死荷重および活荷重による合計応力ではなく最大のものでも 1000 kg/cm^2 以下であった。したがって、この程度の主たる作用としての鉄筋応力では上記の静的および疲労試験の結果より判断して最大ひびわれ幅が許容値 0.2 mm 以上にはならないと考えられ、また、繰り返し荷重によることのが進行することはないと考えられる。

さらに、改訂示方書では橋軸方向鉄筋の断面積比を2%以上、周長率E₀ $= 0.045 \text{ cm/cm}^2$ 以上、鉄筋径としてD13~D19と規定しており、鉄筋の許容引張応力を 1400 kg/cm^2 （床版作用と重ね合わせた場合でも $1400 \times 1.2 = 1680 \text{ kg/cm}^2$ ）におけることである。これによればリブのひび割れに関する問題はないものと思われる。

4. 薄肉フレートガーダーの疲労

ここでは、今まで問題にされなかったに、比較的大径間に用いられる薄肉ウエアフレートガーダーの疲労について述べる。大径間のフレートガーダーが薄肉化の傾向にあることは前述の通りであるが、薄肉化による特有の疲労現象が最近の研究で明らかになってきた。

即ち、従来stocky beamの疲労で問題とされてきた。軸の引張部の亀裂ではなく、圧縮側の腹板に生ずる亀裂である。この疲労亀裂は腹板の面外変形（横振れ）により生ずる腹板境界部の二次曲げ応力によること、荷重の繰り返しと共に成長するものである。（図-10）

この種の亀裂の発生に関する因子としては次の様な事が挙げられる。⁽¹²⁾

- (1)腹板の初期挠み量
- (2)荷重による腹板の横振れ量の変化
- (3)最大荷重と荷重範囲
- (4)このときの腹板境界部の二次曲げ応力
- (5)応力-疲労寿命関係における腹板材料の性質（S-N曲線等）。

(1)の初期挠み量は、本に、腹板板厚、腹板細長比、パネルの縦横比及び組立て時の腹板材の平坦度や溶接順序等非常に多くの因子により左右されるものであり、その形状及び挠み量を定量的に取扱うのは困難である。(2)(3)(4)は相互に関連を有する因子である。或る荷重範囲(3)における、腹板の挠み量の変化(2)が伴えば、ある程度腹板境界部の応力(4)は推定可能である⁽¹³⁾。しかし、この腹板の挠みの変化量が荷重(3)と非線型性關係にあることから、腹板境界部の破曲げ応力を設計段階でチェックすることは不可能である。又、(5)についても、この部分が溶接部材としては特殊な応力状態である

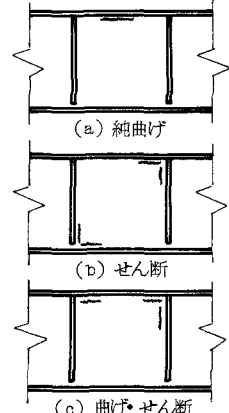


図-10 腹板の二次曲げ亀裂

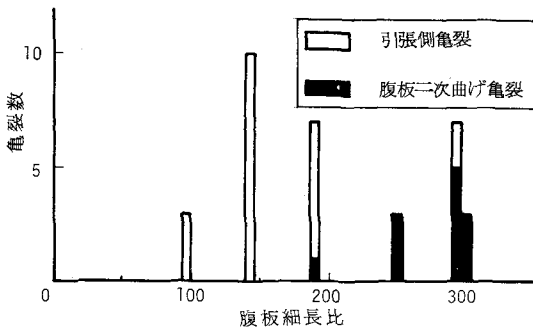


図-11 腹板細長比と亀裂の種類

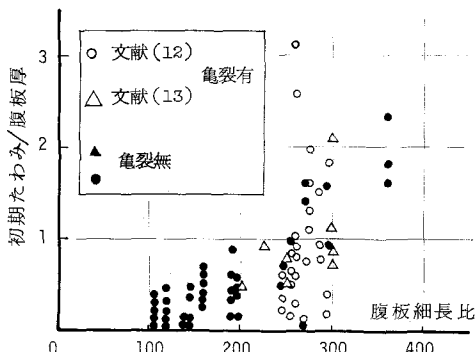


図-12 腹板細長比と初期たわみ

ことから、まだこの種の資料が少ないのが現状である。

このようすは、この種の亀裂の解析的取扱いの困難さから、筆者らは、大型薄肉ガーネットガーダー試験体を用いて、この亀裂の発生例と発生条件を明らかにするために、主として純曲げ状態において、腹板の細長比(β_f)、縦横比(a)、水平補剛材の有無等を変えて実験を行なった。⁽¹³⁾ 図-11は水平補剛材の無いものについて、筆者らの研究及び他の実験例とともに腹板細長比と亀裂の発生数を、又、図-12は腹板細長比と最大初期たわみ量の関係及び亀裂発生の有無を示したものである。前述の如く、腹板の二次曲げ亀裂の発生に関するには、多くの因子が考えられるにもかかわらず、これらの因子を無視してプロットして図-11, 12を判る様に、腹板細長比との強い相関関係が認められる。即ち、腹板の初期たわみ、応力振巾、平均応力等の因子を無視しても、腹板の細長比を制限することにより、この種の亀裂の発生を阻止出来ることが判る。これららの実験結果から、水平補剛材のない軒について、腹板細長比の限界値は200前後と推定される。

又、水平補剛材がこの種の亀裂の発生の阻止あるいは遅延に効果があること、縦横比を小さくすることによっても、同様の効果があることが判った。しかし、未だ資料が少ないのでその効果の程度は確かではないが、Lehigh大学の研究によると、腹板細長比の制限値を借りてばらばら、次式の様によう。

$$\begin{aligned} \beta_c &= 9680/\sqrt{G_y} && \text{(垂直補剛材を有する軒)} \\ \beta_c &= 19400/\sqrt{G_y} && \text{(垂直水平補剛材を有する軒)} \end{aligned} \quad (5)$$

ここに G_y は腹板の降伏応力 (kg/cm^2) を表わし、特に上下非対称断面軒の β は Zyc/t (yc は中立軸より圧縮側エンドまでの距離) で表わされる。上式によると得られる腹板の許容最大細長比と改訂道示の腹板細長比制限を比較すると表-5の様になる。

表より、新道示の軒が受けた部材の座屈に対して安全率1.4を取ると得られた腹板の細長比制限は、いかにも腹板の二次曲げ疲労に対しても、問題はないようである。

実験で用いられた荷重は、下フランジ応力度として、平均すると $G = 1.016a$ (最大応力) $G_a = 0.376a$ (最小応力) $G_d = 0.646a$ (応力振巾)

(G_a は許容応力) であるが、支間30mのクラスの非合成部材試験例について設計応力に加わる死荷重応力と活荷重応力の占める割合を調べた結果は、平均 $G = 0.98G_a$, $G_d = 0.58G_a$, $G_e = 0.40G_a$ であり実験で

表-5 腹板細長比の制限値

鋼種	SS41	SM50	SM50Y	SM58
σ_y (kg/cm^2)	2400	3200	3600	4600
垂直補剛材を有するもの	式(5)	200	170	160
改訂道示	152	130	123	110
垂直・水平を有するもの	式(5)	400	340	320
改訂道示	256	220	209	188

は実際の設計荷重より相当厳しい条件下で行はれた。しかも、建設省の調査によれば、このように設計应力に近い荷重が載荷されることには、ほとんどがこの報告されておりから、現行示方書により設計された腹板については、疲労に対する考慮は現在の安全率の中に含まれていうと考える。しかし、最近、腹板の後座屈強度に期待して、安全率を折衷の終局強度に対して取る。終局強度設計法が示方書内にも取り入れられるものがあらわれている¹¹⁾。即ち、改訂道示においても、剪断パネルについては、終局強度に対して安全率1.7を取った結果、セン断座屈に対しては安全率は1.15まで引き下がられた。今後の研究いかんによつては純曲が及び曲が剪断の組合せパネルにも、この終局強度設計法が取り入れられる可能性があるが、Lehigh大学の研究によれば、腹板の境界溶接部においては、腹板の面外挾みによる、腹筋座屈荷重以下の作用荷重で局部的降伏を生ずることがあり、この部分に二次曲が亀裂発生の恐れがあることを報告している。特に剪断力の作用するパネルでは、この種の亀裂は、張力場のアンカー部に生ずるために、充分の注意が必要である。即ち、折衷の終局強度に対して安全率を取る設計する場合にも、少くとも、腹板細長比と、上記制限値以内に拘束する様考慮する必要があろう。

5. あとがき

以上述べたごとく、同じ構梁の構造部材でも、設計荷重体系が異なれば床版と主桁とでは、疲労に対する安全性が非常にアンバランスであることが判つた。従つて、床版に対しては適切な疲労設計の確立が望まれる一方、主桁については現在のところ疲労設計の必要性はないが、将来終局強度を対象とした荷重係数設計法等の新しい設計法が取り入れられる際にはここで取り上げた様な疲労問題について十分検討を加える必要があるものと思われる。

参考及び引用文献

- 1) 前田、松井：実物大鋼格子床版のRC床版との比較における板特性と耐荷力に関する実験的研究、土木学会論文報告集、第181号、昭和45年9月
- 2) 国広、太田：鋼格子床版に関する報告書、建設省土木研究所資料、第560号、昭和45年2月
- 3) 波田、守、大塚、伊丹：プレキャストコンクリート床版の疲労強度に関する実験的研究、土木学会昭和47年関西支部学術講演会概要集、昭和47年6月
- 4) 新日鉄建材開発部相模原研究室、コンクリート充填グレーティング床版静的試験及び疲労試験報告書、昭和42年1月
- 5) 前田、松井：Prefabricated Steel Deck Plates Sandwiching Concrete, 8th Cong. of IABSE, 1971.9
- 6) 前田、松井：コンクリートサンドウイッチ鋼床版の疲労試験、土木学会年次学術講演会、昭和47年10月
- 7) 前田、佐伯、日暮、梶川：鋼道路橋の合成桁の設計・合成作用の取扱いについて、道路、昭和47年7月
- 8) 前田、梶川：負モーメントを受ける合成桁の疲労破壊に関する研究、第16回橋梁構造工学研究会発表会、昭和44年12月
- 9) 前田、梶川：Fatigue Strength of Steel Plate with a Stud Shear Connector for Application to Continuous Composite Beams, 9th Cong. of Iabse, 1972.5
- 10) 橋、向山、湊：プレストレスしない連続合成桁の静的実験、土木学会10号、昭和43年

- 11) 中井、事口、井上、日暮：プレストレスしない連続合成桁の静的実験（第2報）、第25回土木学会年次学術講演会概要、昭和45年
- 12) P.J.Patterson, J.A.Corrado, J.S.Huang and B.T.Yen: Fatigue and Static Tests of Two Welded Plate Girders, WRC Bu;etom 155, Oct., 1970
- 13) Y.Maeda: Initiation of Fatigue Cracks in Welded Plate Girders, 1st Int. Symposium of J.W.S., Nov., 1971
- 14) H.S.Lew and A.A.Toprac: Fatigue Strength of Hybrid Plate Girders under Constant Moment, Highway Research Record, No.169, 1967
- 15) Y.Kurobane, D.J.Fielding and A.A.Toprac: Addtional Fatigue Test of Hybrid Plate Girders under Pure Bending Moment, Research Rpt. No.96-1f, Center of Highway Research, The University of Texas, 1967
- 16) 例えは J.A.Mueller and B.T.Yen: Girder Web Boundary Stresses and Fatigue, WRC Bulletin 127, Janu., 1968
- 17) AASHTO Committee on Bridges and Structures: Interim Specifications, 1971
- 18) 国広：橋梁の応力頻度と輪荷重調査、JSSC, Vol.5 No.43, 1969.7
- 19) 建設省土木研究所：橋梁に生ずる応力の実態調査研究、第23回建設省技術研究発表会、昭和44年11月
- 20) 建設省土木研究所：既設橋梁の耐荷力と供用限界に関する研究、第24回建設省技術研究発表会、昭和45年11月
- 21) 建設省土木研究所：設計活荷重に関する研究・交通荷重の実態と橋梁設計への適用・、土木研究所資料第701号、昭和46年11月
- 22) 国広、井上：鋼床版への疲労設計の適用例、土木技術資料、昭和47年2月